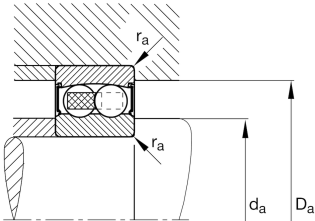
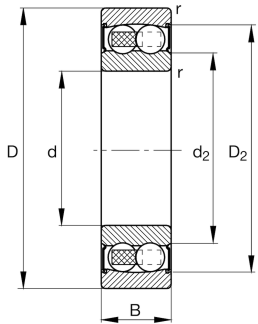


**FAG****2211-2RS-TVH>N**

Rodamiento oscilante de bolas

Self-aligning ball bearing 22..-2RS-TVH,  
seals, plastic cage

## Información técnica



## Variante de su producto actual

Version code	>N	Not marked on bearing
Tipo de agujero	Z	Cilíndrico
Obturaciones	2RS	Obturación de contacto en ambos lados
Jaula	TVH	Jaula maciza de poliamida PA66 reforzada con fibra de vidrio
Clase de tolerancia	PN	Tolerance class PN, acc. to DIN 620
Juego radial del rodamiento	CN (Group N)	Normal internal clearance
Lubricante	GA13	Grasa para rodamientos a bolas y rodamientos insertables

## Medidas principales y datos de rendimiento

d	55 mm	Diámetro del agujero
D	100 mm	Diámetro exterior
B	25 mm	Anchura
$C_r$	27.000 N	Capacidad de carga dinámica, radial
$C_{0r}$	10.000 N	Capacidad de carga estática, radial
$C_{ur}$	630 N	Límite de carga por fatiga, radial
$n_G$	3.900 1/min	Velocidad límite de rotación
$\approx m$	0,842 kg	Peso

## Medidas de montaje

$d_{a \min}$	64 mm	Diámetro mínimo resalte del eje
$D_{a \max}$	91 mm	Diámetro máximo del resalte del alojamiento
$r_{a \max}$	1,5 mm	Radio máximo de garganta



## Medidas

$r_{\min}$	1,5 mm	Medidas mínimas del chaflán
$D_1$	86,44 mm	Diámetro del resalte del anillo exterior
$D_2$	88,21 mm	Diámetro del calibre del anillo exterior
$d_1$	69,8 mm	Diámetro del resalte del anillo interior
$d_2$	67,95 mm	Diámetro del calibre del anillo interior

## Rango de temperatura

$T_{\min}$	-20 °C	Temperatura mín. de funcionamiento
$T_{\max}$	100 °C	Temperatura máx. de funcionamiento

## Factores de cálculo

$e$	0,19	Valor límite de $F_a/F_r$ para la aplicabilidad de dif. Valores de los factores X e Y
$Y_1$	3,32	Factor de carga axial dinámica
$Y_2$	5,15	Factor de carga axial dinámica
$Y_0$	3,48	Factor de carga axial estática

## Características



Carga radial



Carga axial en un sentido



Carga axial en ambos sentidos



Lubricación de por vida, ausencia de mantenimiento



Lubricación con grasa



Obturado en ambos lados



Errores de alineación estáticos



Errores de alineación dinámicos